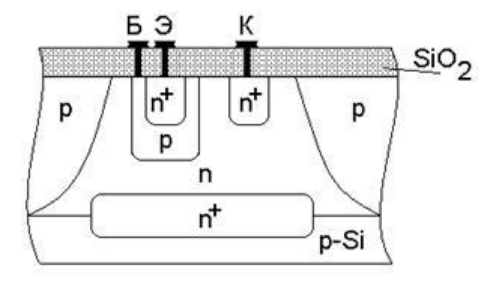
министерство образования и науки российской федерации рязанский государственный радиотехнический университет

ПРОЦЕССЫ МИКРО- И НАНОТЕХНОЛОГИЙ

Методические указания к практическим занятиям



УДК 621.315.592

Процессы микро- и нанотехнологий: методические указания к практическим занятиям/ Рязан. гос. радиотехн. ун-т;сост.: М.В. Зубков, О.А. Максимов. Рязань, 2018. 16 с.

сведения об особенностях Приведены краткие теоретические процессов диффузии, ионного легирования окисления полупроводниковых микрои наноструктур. Представлены графические зависимости и таблицы, необходимые для проведения расчетов распределения легирующих примесей И толшин полупроводниковых и окисных слоев.

Предназначены для студентов направления 11.04.04 «Электроника и наноэлектроника».

Табл. 1. Ил. 6.

Диффузия, ионная имплантация, окисление

Печатается по решению редакционно-издательского совета Рязанского государственного радиотехнического университета.

Рецензент: кафедра микро- и наноэлектроники Рязанского государственного радиотехнического университета (зав.кафедрой проф.Т.А. Холомина)

Процессы микро- и нанотехнологий Составители: 3 у б к о в Михаил Владимирович Максимов Олег Алексеевич

Редактор М.Е. Цветкова Корректор С.В. Макушина

Подписано в печать . Формат бумаги 60х84 1/16. Бумага писчая. Печать трафаретная. Усл печ. л. 1,0. Тираж 30 экз. Заказ

Рязанский государственный радиотехнический университет. 390005, Рязань, ул. Гагарина, 59/1. Редакционно-издательский центр РГРТУ.

1. Расчет диффузионных структур

Диффузия легирующих примесей в полупроводниковые монокристаллы является основным методом изготовления полупроводниковых приборов и интегральных схем (ИС). С помощью процессов диффузии создаются p-n-переходы, резистивные слои, емкости, проводящие слои. Метод диффузии состоит в миграции через кристалл, нагретый до температуры порядка 1000 °С, легирующих атомов в сторону уменьшения их концентрации.

основу теории диффузии положена аналогия межлу процессами переноса В жидких растворах тепла счет теплопроводности. Скорость переноса вещества через единичной площади J или диффузионный поток описывается следующим уравнением:

$$J = -D[C(x,t)/x], \qquad (1.1)$$

где C - концентрация растворенного вещества, которая, как предполагается, зависит только от x и t; x - ось координат, совпадающая с направлением потока вещества; t и D - соответственно время и коэффициент диффузии. Знак минус в правой части 1.1 означает, что перенос вещества осуществляется в направлении уменьшения концентрации. Уравнение (1.1) называют первым законом Фика. Предполагая равновероятное перемещение атомов легирующей примеси во всех направлениях в кристалле, 1.1 записывают в виде

$$\partial C(x,t)/\partial t = D\left[\partial^2 C(x,t)/\partial x^2\right]$$
 (1.2)

Уравнение (1.2) называют вторым законом Фика. Общее решение (1.2) имеет сложный вид. Однако при введении определенных начальных и граничных условий решения упрощаются. В полупроводниковой технологии наибольший интерес представляют два случая распределения примесных атомов.

1.1. Диффузия из бесконечного источника

Под термином "бесконечный источник" следует понимать источник с постоянной во времени концентрацией примеси C. Таким бесконечным источником может быть газовая фаза при диффузии в открытой трубе. Начальные и граничные условия можно записать:

$$1) \quad C(x,0) = 0 \quad ,$$

$$2) \quad C(0,t) = C_0,$$

$$3) \quad C(\infty,t)=0.$$

При этих условиях решение уравнения (1.2) имеет вид

$$C(x,t) = C_0 \left(1 - erf\left(\frac{x}{2\sqrt{Dt}}\right) \right), \qquad (1.3)$$

где erf — сокращенное обозначение функции ошибок Гаусса (от английского error function); x - глубина, соответствующая данной концентрации, см; t - длительность диффузии, с. В этом уравнении коэффициент диффузии D имеет размерность см²/с, а поверхностная концентрация C_0 — см⁻³.

$$C(x,t) = C_0 \operatorname{erfc}\left(\frac{x}{2\sqrt{Dt}}\right),$$
 (1.4)

$$erf \frac{x}{2\sqrt{Dt}} = \frac{2}{\sqrt{\pi}} \int_{0}^{\frac{x}{2\cdot\sqrt{Dt}}} \exp(-t^2) dt .$$

Решение (1.3) может быть переписано в виде:

$$C(x,t) = C_0 \operatorname{erfc}\left(\frac{x}{2\sqrt{Dt}}\right),$$
 (1.5)

 $_{\text{где}}$ $erfc\frac{x}{2\sqrt{Dt}} = 1 - erf\frac{x}{2\sqrt{Dt}}$ - дополнительная функция ошибок.

Вместо erfc-функции можно использовать аппроксимацию

$$erfc \frac{x}{2\sqrt{Dt}} \approx \exp\left[\left(-\frac{x}{2\sqrt{Dt}} + 0.3\right)^2\right] .$$
 (1.6)

График функции (1.4) представлен на рис.1.1. Глубина, отсчитываемая от x=0, на которой концентрация диффундирующей примеси равняется концентрации примеси в исходной пластине полупроводника CB, называется глубиной залегания p-n перехода x_j (рис.1.1). При диффузии из бесконечного источника глубина залегания p-n перехода рассчитывается по формуле (1.7):

$$x_{j} = 2\sqrt{Dt} \left(\sqrt{\ln(C_{0}/C_{B})} - 0.3 \right).$$
 (1.7)

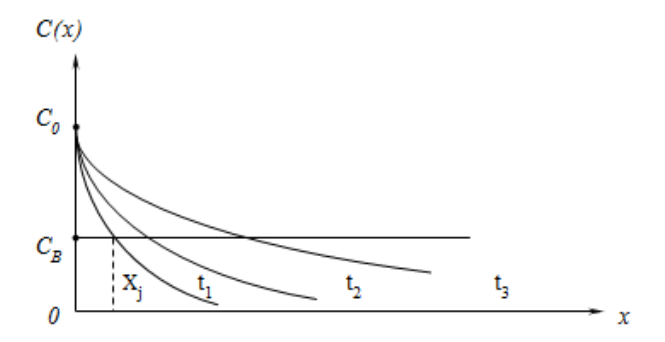


Рис. 1.1. Зависимость концентрации примеси от координаты при диффузии из бесконечного источника

1.2. Диффузия из источника с ограниченным содержанием примеси

Термин "ограниченное содержание примеси" означает, что перед началом диффузии на поверхности полупроводниковой пластины в бесконечно тонком слое содержится заданное количество атомов легирующей примеси N (см $^{-2}$). Причем обеспечивается условие, препятствующее испарению примеси с поверхности, так как диффузия осуществляется при высоких температурах. Примером этого является диффузия в кремний из тонкого поверхностного слоя, защищенного пленкой SiO_2 , которая представляет собой отражающую границу. Используя начальные и граничные условия:

$$1) C(x,0) = 0 ,$$

$$2) C(x,\infty) = 0 ,$$

3)
$$N = \int_{0}^{\infty} C(x) dx$$
, получают

$$C(x,t) = \frac{N}{\sqrt{\pi Dt}} \exp(-\frac{x^2}{4Dt}) . \qquad (1.7)$$

Полагая x = 0, определяют величину поверхностной концентрации:

$$C_0 = N / \sqrt{\pi Dt} \quad . \tag{1.8}$$

Уравнение (1.8) называют гауссовым распределением. Глубина залегания p-n-перехода для этого случая:

$$x_{i} = 2\sqrt{Dt}\sqrt{\ln(C_{0}/C_{B})} \quad . \tag{1.9}$$

Для многих практических случаев глубина p-n перехода:

$$x_i \approx 6\sqrt{Dt} \,. \tag{1.10}$$

График функции (1.7) представлен на рис.1.2.

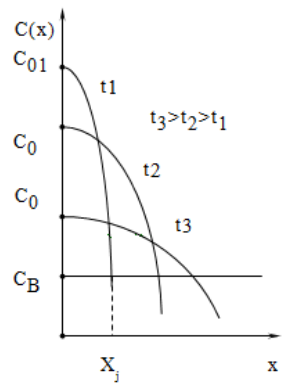


Рис. 1.2. Распределение примеси и определение глубины залегания p-n перехода при диффузии из источника с ограниченным содержанием примеси

1.3. Двухстадийная диффузия

В планарной технологии ИС, например при создании базовых областей биполярных транзисторов, диффузию проводят в две стадии.

Вначале в течение короткого времени t_1 при температуре T_{l} , лежащей в пределах 900-1000°C осуществляют загонку примеси, представляющую собой диффузию из бесконечного источника с постоянной поверхностной концентрацией C_{01} .

Тонкий диффузионный слой, сформированный на первой стадии диффузии, является источником с ограниченным содержанием примеси для второй стадии – разгонки.

Разгонку проводят при более высокой температуре T_2 порядка 1150 °C и времени t_2 . Зависимость

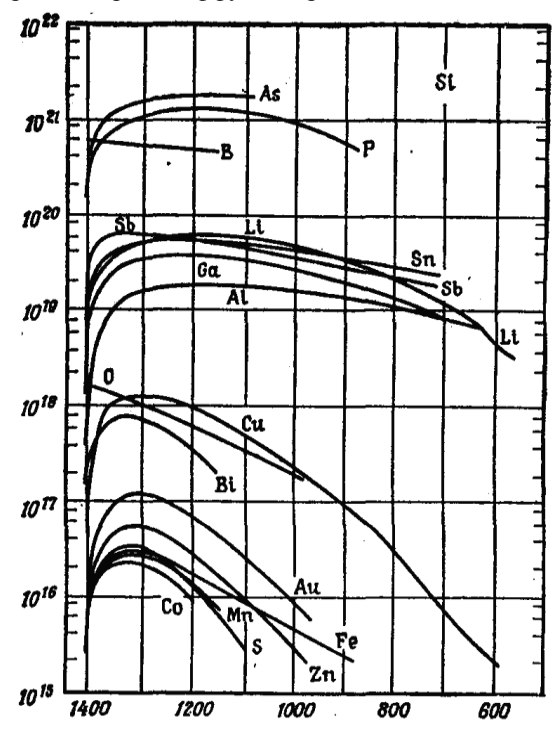


Рис 1.3. Зависимость предельной растворимости основной легирующей примеси в кремнии от температуры

предельной растворимости основной легирующей примеси в кремнии от температуры приведена на рис 1.3.

1.4. Расчет коэффициента диффузии

Экспериментально установлено, что температурная зависимость коэффициента диффузии описывается уравнением:

$$D = D_0 \exp(-E/kT)$$
 , (1.11)

где D_0 , см 2 /с, - постоянная диффузии;

E, 9В, - энергия активации; T, K, - температура;

k = 8,63*10-5, эВ/К - постоянная Больцмана.

При температурах диффузии величину D_0 рассматривают как не зависящую от температуры. Физический смысл энергии активации E в основном связан с энергией, необходимой для образования точечных дефектов в кристалле. Значения постоянных диффузии и энергии ионизации для примесей в кремнии приведены в табл. 1.1.

p - Si n - SiЭлемент Е, эВ Е, эВ Элемент D_0 ,cm 2 /c D_0 , cm^2/c В 10,5 3,69 P 3,85 3,66 Al 8 0.32 3.56 3,48 As 3,95 Ga 3,6 3,52 Sb 5,60 3,91 1033 In 16,5 Bi 4,65 3,91 Te 16,5 Li 0,0023 0,66

Таблица 1.1

1.5. Расчет поверхностного сопротивления

Уровень легирования диффузионных слоев оценивают, измеряя их поверхностное сопротивление $R_{\rm s.}$ По данным измерений определяют поверхностную концентрацию примеси в легированном слое, рассчитывают профиль распределения примеси (см. пп. 1.1-1.4) и контролируют его соответствие заданным требованиям. Поверхностное сопротивление определяется как сопротивление диффузионного резистора, толщина которого равна глубине залегания р-п перехода x_i , а длина и ширина равны друг другу и образуют стороной 1. Поэтому величину поверхностного сопротивления выражают в омах на квадрат (Ом / □).

Величину поверхностного сопротивления можно рассчитать по формуле:

$$R_s = \frac{\rho}{x_i} = \frac{1}{\sigma \cdot x_i}$$
 , Om/ \Box .

Средняя проводимость равна:

$$\sigma = \frac{q}{x_j} \int_0^{x_j} \mu(N) N(x) dx , \qquad (1.12)$$

где $\mu(N)$ - исходная зависимость подвижности носителей заряда от концентрации, q=1,6*10-19 Кл - заряд электрона, N(x) — зависимость концентрации примеси от координаты. Подвижность электронов и дырок в кремнии при 300 К в зависимости от концентрации примесей рассчитывают по формуле:

$$\mu = \mu_{\min} + \frac{\mu_{\max} - \mu_{\min}}{1 + \left(\frac{N(x)}{N_0}\right)^{\alpha}}, \quad \mu_n = 0.145 \left(\frac{300}{T}\right)^{2.6}, \quad \mu_p = 0.05 \left(\frac{300}{T}\right)^{2.3},$$

где μ_{min} , μ_{max} - постоянные величины, зависящие от типа легиру-ющей примеси.

Кривая концентрационной зависимости N(x) может быть получена с использованием следующих значений параметров (табл.1.2) исходя из закона распределения примеси для данного вида диффузии.

Мышьяк Фосфор Параметр Бор M_{max} , $cm^2/B*c$ 1417 1414 470.5 M_{min}, см²/В*с 52.5 68.5 44.9 0.719 0.719 0.719 N_{0}, M^{-3} $9.2*10^{22}$ $9.2*10^{22}$ $2.23*10^{23}$

Таблица 1.2

2. Расчет структур, полученных ионной имплантацией

Метод ионной имплантации является основным в планарной технологии. При изготовлении биполярных транзисторов ионную имплантацию применяют для получения эмиттера, базы, коллектора, сильнолегированных приконтактных областей и т.д. Основными преимуществами этого метода по сравнению с диффузией являются возможность прецизионного контроля количества внедренной примеси и высокая однородность концентрации по поверхности пластины.

2.1. Основные параметры ионной имплантации

Средний нормальный пробег иона $R_{\rm p}$ и его среднеквадратичное отклонение $\Delta {\rm Rp}$ представляют собой проекцию траектории пробега ионов на направление первоначальной скорости и разброс этого параметра. Величина $R_{\rm p}$ описывается нормальным законом распределения случайных чисел. Доза облучения - это количество частиц, бомбардирующих единицу поверхности за данное время. Если известны плотность ионного тока j и время t, то доза облучения N, рассчитывается по формуле:

$$N = jt/qn \quad , \tag{2.1}$$

где n=1,2,3 - кратность ионизации.

2.2. Распределение примеси при ионной имплантации

Если пренебречь каналированием, например, используя неориентированное внедрение, то распределение примеси, как и для случая диффузии из ограниченного источника, описывается кривой Гаусса:

$$C(x) = \frac{N}{\sqrt{2\pi} \Delta R_p} \exp \left[-\frac{1}{2} \cdot \frac{\left(x - R_p\right)^2}{\left(\Delta R_p\right)^2} \right]. \quad (2.2)$$

Максимум концентрации примеси в отличие от случая введения ее методом диффузии залегает не на поверхности, а на глубине $x = R_n$:

$$C_{\text{max}} = 0.4N/\Delta R_p \quad . \tag{2.3}$$

В качестве примера на рис. 2.1 приведены распределения для бора, внедренного в кремний с дозой $10^{12}~{\rm cm}^{-2}$ с различной энергией ионов.

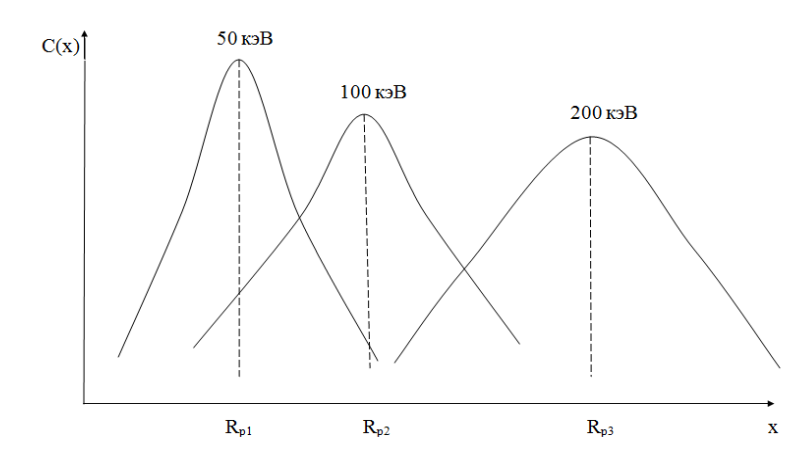


Рис. 2.1. Распределение примеси при ионной имплантации бора

3. Расчет распределения концентрации примеси при имплантации через слой окисла

3.1. Термическое окисление кремния в парах воды

Для получения защитных диэлектрических пленок на кремнии используют термическое окисление в парах воды высокой чистоты (порядка 10—20 МОм-см). Высокотемпературную реакцию кремния с водяным паром используют в том случае, когда количество пара не ограничивает скорость реакции. Для поддержания необходимого парциального давления водяных паров у поверхности кремниевых пластин воду подогревают.

Структурное формирование пленки оксида происходит за счет диффузионного переноса воды через слой оксида к поверхности кремния. На структурное формирование пленки оксида оказывает влияние водород, образующийся в процессе реакции окисления и диффундирующий в глубь пластины. Так как коэффициент диффузии водорода ($2\cdot10-6$ cm²/c при 1050 °C) значительно больше, чем коэффициент диффузии воды ($9\cdot10-10$ cm²/c при 1050 °C), то образование гидроксильных групп у границы раздела кремний — оксид объясняется наличием не только молекул воды, но и водорода.

При температурах процесса окисления выше 1100 °C образование слоя оксида идет согласно параболическому закону и описывается выражением $x^2 = Bt$. При температурах процесса ниже

1100°C рост пленки оксида по линейному закону имеет место в том случае, когда скорость окисления ограничена скоростью химической реакции на границе кремний — оксид. На участке линейного роста скорость реакции зависит от количества свободных связей атомов кремния, которые могут реагировать с молекулами воды на границе раздела кремний— оксид. Большое влияние на скорость роста оксидной пленки оказывают ориентация подложки, тип электропроводности и концентрация примеси исходной подложки.

Высокая концентрация примеси в подложке влияет либо на скорость реакции окисления на границе раздела кремний — оксид, либо на коэффициенты диффузии окислителей. Так, наличие в исходной подложке фосфора в первую очередь оказывает влияние на скорость реакции окисления. Поверхность кристалла с высокой концентрацией фосфора окисляется значительно быстрее, чем слаболегированная поверхность. Это справедливо для низкотемпературного диапазона (600—1100 °C).

При термическом окислении растущий оксид оттесняет фосфор в глубь кристалла кремния и, таким образом, в оксидном слое концентрация фосфора весьма мала. Для бора картина обратная: растущий оксид включает в себя большое количество бора, что приводит к ускорению диффузии окисляющих веществ. Поэтому кремний с высокой концентрацией бора окисляется быстрее как в высокотемпературной, так и в низкотемпературной области.

На рис. 3.1 приведены графики зависимости изменения толщины оксида в атмосфере влажного кислорода от времени проведения процесса окисления для различных температур.

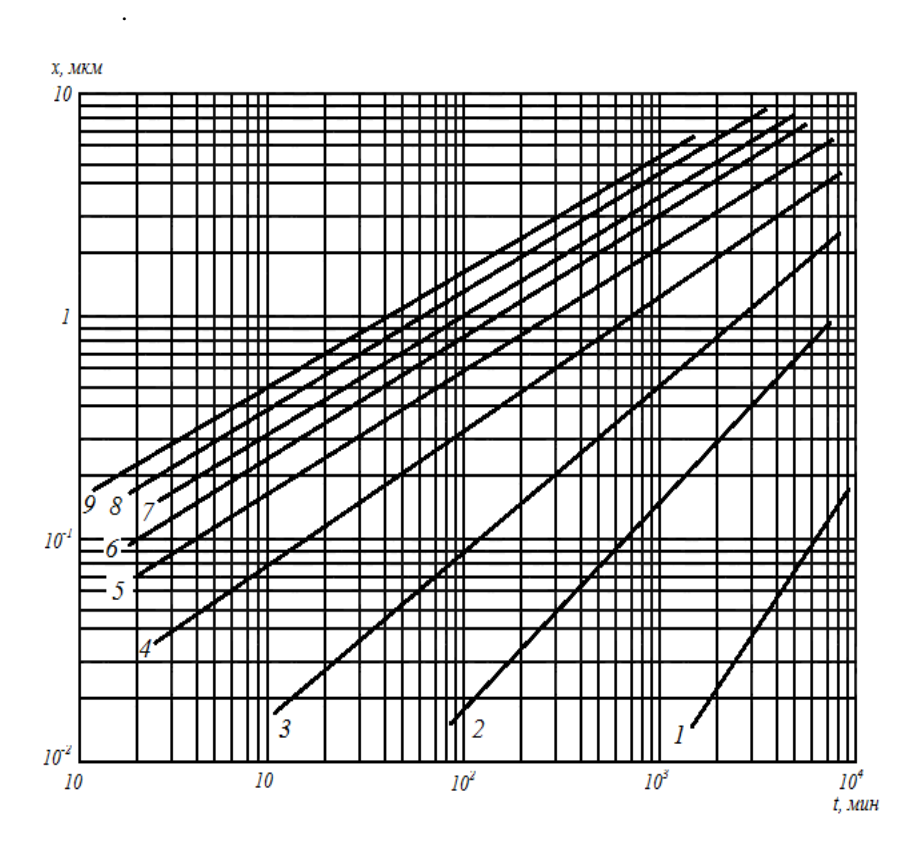


Рис. 3.1. Зависимость толщины пленки SiO_2 , выращенной в атмосфере водяного пара, от времени для температур, °C:

3.2. Термическое окисление кремния в сухом кислороде

Отличием метода окисления в сухом кислороде от окисления в парах воды является то, что в первом случае веществом,

диффундирующим сквозь растущую пленку оксида, является не вода, а ионы кислорода. Необходимо отметить, что коэффициент диффузии кислорода в пленке оксида (2,8 \cdot 10-14 см²/с при 1050 °C) значительно меньше, чем у водорода и воды при тех же условиях. Поэтому скорость роста оксидной пленки в сухом кислороде меньше, чем в парах воды.

Так как в процессе образования оксидных пленок отсутствуют водород и пары воды, то в структуре выращенного оксида нет гидроксильных групп (ОН). Высокая энергия активации процесса окисления кремния в сухом кислороде и отсутствие гидроксильных групп приводят к образованию прочных связей кислорода с кремнием в структуре получаемого оксидного слоя кремния.

Как и при окислении в парах воды, кинетика окисления в области низких температур определяется в большей мере скоростью реакции на границе раздела кремний — оксид, чем диффузией кислорода. Отклонение закона роста пленки оксида в сторону линейности обычно имеет место при температурах ниже 1000 °C.

На рис. 3.2 приведены графики зависимости изменения толщины оксида в атмосфере сухого кислорода от времени проведения процесса окисления для различных температур.

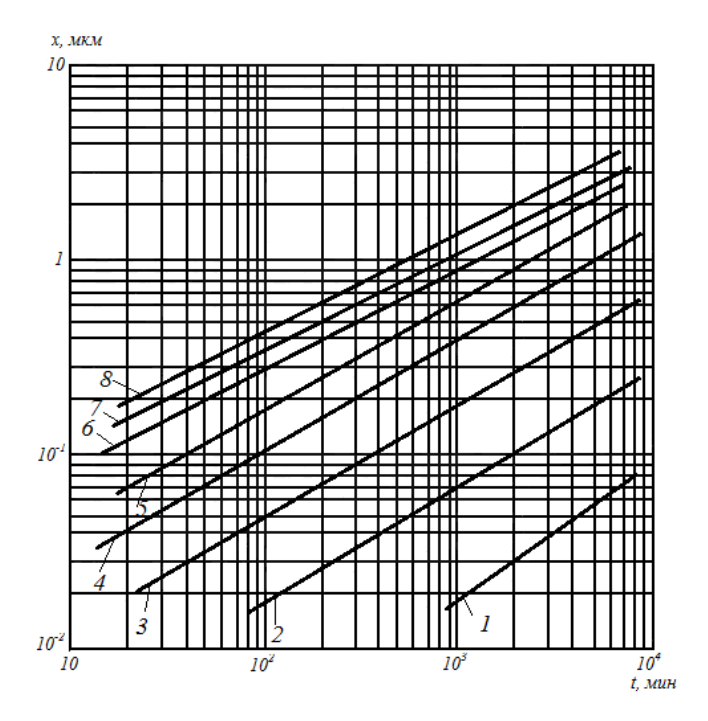


Рис. 3.2. Зависимость толщины пленки SiO_2 выращенной в атмосфере сухого кислорода, от времени для температур, °C:

Задачи

- 1. Чем определяется поверхностная концентрация примеси после проведения диффузии из бесконечного источника при заданной температуре:
 - 1) фоновая концентрация примеси в подложке;
 - 2) доза легирования;
 - 3) предельная растворимость;
 - 4) время диффузии?
 - 2. От какого параметра зависит коэффициент диффузии:
 - 1) температура;
 - 2) концентрация легирующей примеси;

- 3) давление в реакционной системе;
- 4) все указанные выше параметры?
- 3. Рассчитать профиль распределения концентрации примеси в n-p-n-структуре , полученной последовательной диффузией бора и фосфора в кремний с электропроводностью n-типа и удельным сопротивлением 0,1 Ом $^{\circ}$ См, проводимой в режимах: 1200 0 С, 1 ч,1100 $^{\circ}$ С, 2 ч.
- 4. Рассчитать профиль распределения концентрации примеси в n-p-n-структуре , полученной последовательной диффузией бора и фосфора в кремний с электропроводностью p-типа и удельным сопротивлением 0,7 Ом см, проводимой в режимах: $1250~^{0}$ C, $1.5~v.1050~^{0}$ C, $3~v.1050~^{0}$ C,
- 5. Определить глубину залегания p-n-перехода в случае двухстадийной диффузии фосфора в кремний с электропроводностью p-типа с удельным сопротивлением $10~\rm Om^2\,cm$, проводимой в режиме: $1050~\rm ^{0}C$, $10~\rm muh$, $1150~\rm ^{0}C$, $2~\rm ^{4}$.
- 6. Рассчитать распределение примеси при двухстадийной диффузии бора в кремний, проводимой в режиме: $1050~^{0}\mathrm{C}$, $10~\mathrm{mu}$, $1150~^{0}\mathrm{C}$, $2~\mathrm{u}$.
- 7. Определить глубину залегания p-n-перехода в случае двухстадийной диффузии бора в кремний с электропроводностью n-типа с удельным сопротивлением 1 Ом $^{\circ}$ см, проводимой в режиме: $1000\,^{\circ}$ С, 13 мин, $1120\,^{\circ}$ С, 3 ч.
- 8. Построить распределение примеси и рассчитать глубину залегания p-n-перехода в случае диффузии бора из источника с ограниченным содержанием примеси в кремний n-типа с удельным сопротивлением 1 Ом см, если диффузия проводилась в режимах: $1000^{\,0}\,\mathrm{C}$, $1\,\mathrm{q}$, $N=1\,10^{14}\mathrm{cm}^{-2}$.
- 9. Рассчитать поверхностное сопротивление диффузионного слоя для данных, приведенных в задании № 8. Сравнить аналитическую глубину залегания p-n-перехода со значением, полученным из графика профиля распределения.
- 10. Построить распределение примеси и рассчитать глубину залегания p-n-перехода в случае диффузии фосфора из источника с ограниченным содержанием примеси в кремний p-типа с удельным сопротивлением 4 Ом'см, если диффузия проводилась в режимах: 1070 °C, 1 ч, N= 2,7·10¹⁵cм⁻².
- 11. Рассчитать поверхностное сопротивление диффузионного слоя для данных, приведенных в задании № 10. Сравнить аналитическую глубину залегания p-n-перехода со значением, полученным из графика профиля распределения.

- 12. В кремниевую пластину вводится фосфор из газового источника при 975 °C в течение 30 мин. Определить глубину перехода
- а) для подложки р-типа с удельным сопротивлением 0,3 Ом'єм;
 - б) для подложки р-типа с удельным сопротивлением 20 Ом $^{\circ}$ см. Принять, коэффициент диффузии фосфора 10^{-13} см 2 /с.
- 13. От каких технологических параметров в основном зависит глубина залегания p-n-перехода в диффузионных структурах?
 - 1) температура;
 - 2) фоновая концентрация примеси в подложке;
 - 3) энергия иона;
 - 4) коэффициент диффузии, время диффузии.
- 14. Рассчитать профиль распределения примеси в транзисторной n-p-n- структуре, полученной методом двойной ионной имплантации для следующих режимов технологического процесса: подложка Si n-типа ρ =1 Oм·см; имплантация бора с дозой N= $2\cdot10^{11}$ см⁻² и энергией E= 30 кэВ; имплантация фосфора дозой N= $2\cdot10^{12}$ см⁻² и энергией E= 50 кэВ.
- 15. Определить глубину залегания p-n-переходов, толщину базы, поверхностное сопротивление эмиттера и базы в транзисторной n-p-n-структуре, полученной методом двойной ионной имплантации (использовать данные задания № 14).
- 16. Определить температуру разгонки мышьяка, предварительно внедренного с помощью ионной имплантации в кремний р-типа с удельным сопротивлением 1 Ом см, если распределение концентрации обладает следующими параметрами: $x_J = 0.5\,$ мкм, $C_o = 1.5 \cdot 10^{-20}\,$ см $^{-3}$, t = 1 ч.
- 17. Определить температуру разгонки мышьяка, предварительно внедренного с помощью ионной имплантации в кремний р-типа с удельным сопротивлением 3 Ом'см, если распределение концентрации обладает следующими параметрами: $x_J = 0.7$ мкм, $C_o = 2.5 \cdot 10^{-19}$ см⁻³, t = 2 ч.
- 18. Построить распределение примеси алюминия, внедренной в кремний п-типа с помощью ионной имплантации, для следующих режимов технологического процесса: $N=1\cdot10^{12} cm^{-2}$, E=20 кэB, $\rho=10$ Ом см.
- 19. Используя данные приведенные в задании № 18, провести разгонку ионно-имплантированного слоя при температуре 1000 0 С в течение 1 ч. Определить глубину залегания p-n-перехода.

- 20. Определить поверхностное сопротивление кремния после разгонки примеси из ионно-имплантированного слоя, используя исходные данные, приведенные в заданиях 18, 19.
- 21. При какой температуре производят отжиг кремниевых структур после проведения операции ионной имплантации фосфора?
 - 1) 100 ° C;
 - 2) 10000 °C;
 - 3) 600 ° C:
 - 4) 1100 ° C?
- 22. Определить время окисления кремния при использовании трехступенчатого способа термического окисления (сухой, влажный, сухой кислород) при температуре $1200~^{0}$ С, если необходимо вырастить пленку толщиной $1~\rm{mkm}$.
 - 23. В каких случаях применяют окисление в сухом кислороде:
 - 1) Для создания маскирующего покрытия.
 - 2) Для выращивания подзатворного диэлектрика.
 - 3) Для защиты поверхности кристалла от внешних факторов
 - 4) Для сокращения времени проведения процесса окисления?
- 24. Кремниевая пластина легируется дозой ионов фосфора, равной 3×10^{16} см⁻², имеющих энергию 50 кэВ ($R_{\rm p}$ =63 нм, $\Delta R_{\rm P}$ =27 нм), с целью формирования контактов транзистора.
- а) Если пластина затем окисляется, следует ли учитывать эффекты, связанные с зависимостью скорости окисления от концентрации легирующей примеси?
- б) Перед окислением проводится диффузия фосфора в течение 60 мин при 1000 °C. Будет ли в этом случае играть роль зависимость скорости окисления от концентрации легирующей примеси?
- в) Рассмотреть вновь пункты а и б, если легирование фосфором осуществляется при энергии ионов 150 кэВ ($R_p = 180$ нм, $\Delta R_P = 64$ нм).
- 25. После того как в пластину кремния п-типа вблизи ее поверхности введен бор с высокой концентрацией, часть пластины покрывается слоем поликристаллического кремния с высокой концентрацией кристаллических дефектов. Затем пластина окисляется и оказывается, что в участках, которые не были перед окислением покрыты поликремнием, глубина перехода намного больше. Объяснить этот результат.